



### 2-3 初期条件および境界条件

壺口によれば厚さ  $h_0$ 、長さ  $L_0$  の貯油槽のシャッターを解放して発生する瞬間流出の場合、流出直後にシャッター位置の油層厚がほぼ1/2倍の厚さ ( $\delta_0$ ) となって進行する。流出直後に距離  $L_0$  だけ油層先端が進行した時刻を計算の初期時刻とする。流出後これに至るまでの時間  $t_0$  を次元的考察から、式(9)により定義する。また、流出初期には先端部の密度フルード数が一定で推移すると考えられる。実験によれば、一次元の場合、流出前の油層厚を用いたフルード数で約0.7、流出後の先端部厚さを用いた密度フルード数で約1となっている。よって、式(9)とこのフルード数の条件から、式(10)が得られる。

$$t_0 = \left( \frac{L_0}{\Delta \rho g / \rho} \right)^{\frac{1}{2}} \quad (9) \quad L_0 = \delta_0 \quad (10)$$

以上により、計算の初期条件としては次のように与える。

$$\delta = h_0 \quad (0 \leq x \leq L_0 - \delta_0)$$

$$\delta = \delta_0 = \frac{h_0}{2} \quad (L_0 - \delta_0 \leq x \leq L_0 + \delta_0) \quad (11-A)$$

$$u = 0 \quad (0 \leq x \leq L_0 - \delta_0)$$

$$u = \left( 1 + \frac{x - L_0}{\delta_0} \right) \frac{u_{f0}}{2} \quad (L_0 - \delta_0 \leq x \leq L_0 + \delta_0) \quad (11-B)$$

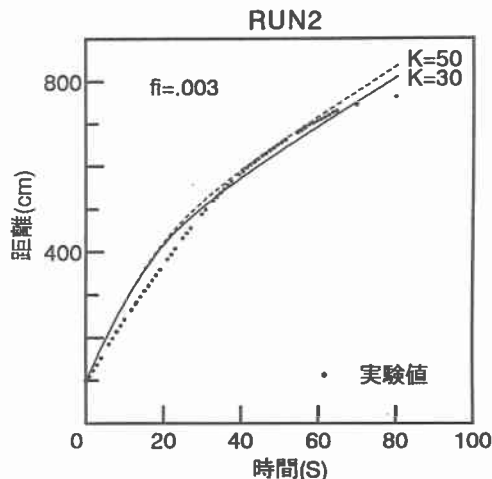
$$u_{f0} = \sqrt{\Delta \rho g \delta_0 / \rho} \quad (11-C)$$

境界条件は上流端と下流端で与えるが、下流端の条件は式(3)となる。上流端の境界条件は上流端に壁がある条件となり  $x=0$  で  $u=0$  が課される。

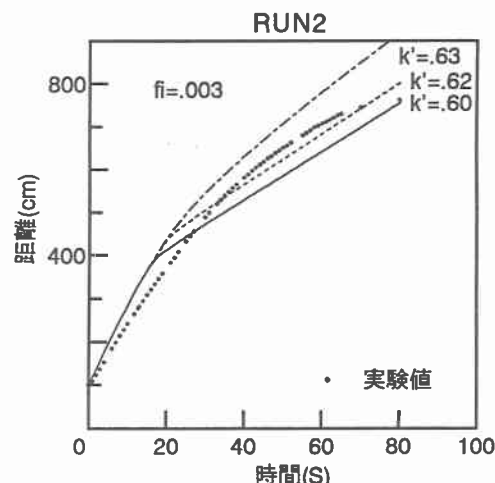
#### 3. 計算結果

以上により瞬間流出の場合の先端位置の時間的变化を求めた。なお、先端条件として式(3)を課す場合、途中で先端速度が著しく小さくなり、ある程度時間が経過すると先端の進行がみられなくなるので、先端油層厚  $\delta_f = 0.3cm$  以下となった場合、その値を0.3に固定した。これらの条件での解析結果を、図-3に示す。

界面抵抗の評価式は油層厚が小さい時はFannelopの方法の方が、油層厚が大きくなると慣性抵抗を評価する方法の方が実験値に近くなる。その理由としては、Fannelopらの方法は、迎え角ゼロの場合の平板境界層の式であるためだと考えられる。また、後続部の摩擦抵抗係数はLauが油層の実験で求めた結果を用いるのが妥当であると考えられる。



$(L_0 = 100cm, h_0 = 5cm, B = 50cm, \Delta \rho / \rho = .09)$   
図-3-a 先端位置の実験値と計算値(Fannelop)



$(L_0 = 100cm, h_0 = 5cm, B = 50cm, \Delta \rho / \rho = .09)$   
図-3-b 先端位置の実験値と計算値(慣性抵抗)

#### 4.まとめ

以上、先端条件を再検討し、図-2及び式(3)を得た。また、先端部の界面抵抗の評価において、慣性抵抗としての評価を行い、Fannelopらの方法を用いるよりは合理的であることが示唆された。

#### 参考文献

- 首藤・大野ら : 第24回海岸工学講演会(1977)  
Lau・Moirら : ASCE, Environmental Engineering Division (1979)